

УДК 543.227:546.791.6'161.171.1

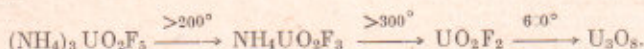
ХИМИЯ

Р. Л. ДАВИДОВИЧ, Д. Г. ЭПОВ, член-корреспондент АН СССР Ю. А. БУСЛАЕВ

### ТЕРМИЧЕСКАЯ УСТОЙЧИВОСТЬ ФТОРУРАНИЛАТОВ АММОНИЯ

Поведение пентафторуранилата аммония при нагревании изучено Н. П. Галкиным и сотрудниками (<sup>1</sup>) методами термогравиметрии, термографии и рентгенографии. Термограмма  $(\text{NH}_4)_3\text{UO}_2\text{F}_5$ , полученная при скорости нагрева 80 град/мин, характеризуется двумя эндотермическими и двумя экзотермическими эффектами, температуры которых соответственно лежат при 350, 400 и 200, 550° С. При уменьшении скорости нагрева образца  $(\text{NH}_4)_3\text{UO}_2\text{F}_5$  до 8 град/мин все эффекты на термограмме сместились в область более низких температур, что объяснено (<sup>1</sup>) медленным течением процесса разложения.

Выдерживание образцов  $(\text{NH}_4)_3\text{UO}_2\text{F}_5$  в течение двух часов при различных температурах с последующим анализом продуктов показало (<sup>1</sup>), что устойчивый до 100° пентафторуранилат аммония разлагается в три этапа согласно уравнению:



В интервале температур 200—300° от  $(\text{NH}_4)_3\text{UO}_2\text{F}_5$  отщепляются 2 молекулы  $\text{NH}_4\text{F}$  с образованием промежуточного соединения, имеющего состав  $\text{NH}_4\text{UO}_2\text{F}_3$ . Последнее выше 300° разлагается до  $\text{UO}_2\text{F}_2$ , устойчивого в интервале температур 400—600°. При высоких температурах уранилфторид превращается в закись — окись урана.

Термическое поведение  $(\text{NH}_4)_3\text{UO}_2\text{F}_5$  изучено также и в работе (<sup>2</sup>). Однако приведенные в (<sup>2</sup>) термограммы несколько отличаются от данных (<sup>1</sup>).

Результаты химического анализа продуктов разложения  $(\text{NH}_4)_3\text{UO}_2\text{F}_5$ , приведенные в работе (<sup>1</sup>), не свидетельствуют однозначно об образовании в процессе разложения пентафторуранилата аммония соединения  $\text{NH}_4\text{UO}_2\text{F}_3$ . Представляло интерес уточнить первый этап термического разложения  $(\text{NH}_4)_3\text{UO}_2\text{F}_5$  и получить более полные сведения о составе и свойствах промежуточного продукта разложения пентафторуранилата аммония, а также изучить термическое поведение вновь синтезированного нами комплексного фторида уранила с аммонием состава  $(\text{NH}_4)_2(\text{UO}_2)_3\text{F}_8 \cdot 4\text{H}_2\text{O}$  (<sup>3</sup>) и сопоставить результаты термического разложения этого соединения с данными для  $(\text{NH}_4)_3\text{UO}_2\text{F}_5$ .

Пентафторуранилат аммония получен действием избытка  $\text{NH}_4\text{F}$  на раствор  $\text{UO}_2\text{F}_2$ . Синтез  $(\text{NH}_4)_2(\text{UO}_2)_3\text{F}_8 \cdot 4\text{H}_2\text{O}$  описан в (<sup>3</sup>).

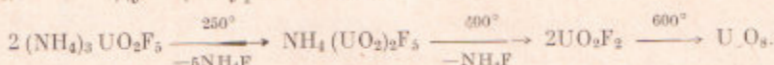
Термограммы исследованных комплексных фторидов аммония снимались на дериватографе системы Ф. Паулик, Я. Паулик и Л. Эрдеи в атмосфере неосушенного воздуха. Скорость нагрева образцов составляла 10—12 град/мин. Дифрактограммы записывались на дифрактометре ДРОН-1 в медном излучении с никелевым фильтром.

Полученные дериватограммы представлены на рис. 1. Термическое разложение  $(\text{NH}_4)_3\text{UO}_2\text{F}_5$ , как следует из его дериватограммы (рис. 1А), протекает в две стадии, о чем свидетельствует перегиб на термогравиметрической кривой и наличие двух пиков на производной кривой изменения веса. Пентафторуранилат аммония начинает разлагаться при 180°. В интервале температур 200—300° разложение  $(\text{NH}_4)_3\text{UO}_2\text{F}_5$  идет с большой

скоростью. На участке *a* — *b* термогравиметрической кривой убыль веса составляет 21,8%, что соответствует отщеплению от  $(\text{NH}_4)_3\text{UO}_2\text{F}_5$  2,5 молекул  $\text{NH}_4\text{F}$ . Вычисленная потеря веса для 2,5 молекул  $\text{NH}_4\text{F}$  составляет 22%.

Дальнейшее разложение пентафторуранилата аммония сопровождается выделением тепла, что на термограмме зафиксировано в виде экзотермического эффекта с максимумом при 420°. Постепенное изменение веса на участке *e* — *z* (рис. 1А) термогравиметрической кривой вызвано гидролизом уранилфторида влагой воздуха.

Таким образом, процесс термического разложения  $(\text{NH}_4)_3\text{UO}_2\text{F}_5$  можно представить следующим уравнением:



В качестве промежуточного продукта разложения  $(\text{NH}_4)_3\text{UO}_2\text{F}_5$  образуется соединение состава  $\text{NH}_4(\text{UO}_2)_2\text{F}_5$ .

На дериватограмме  $(\text{NH}_4)_2(\text{UO}_2)_3\text{F}_8 \cdot 4\text{H}_2\text{O}$  (рис. 1Б) зафиксировано несколько тепловых эффектов. Эндотермический эффект при 150° обус-

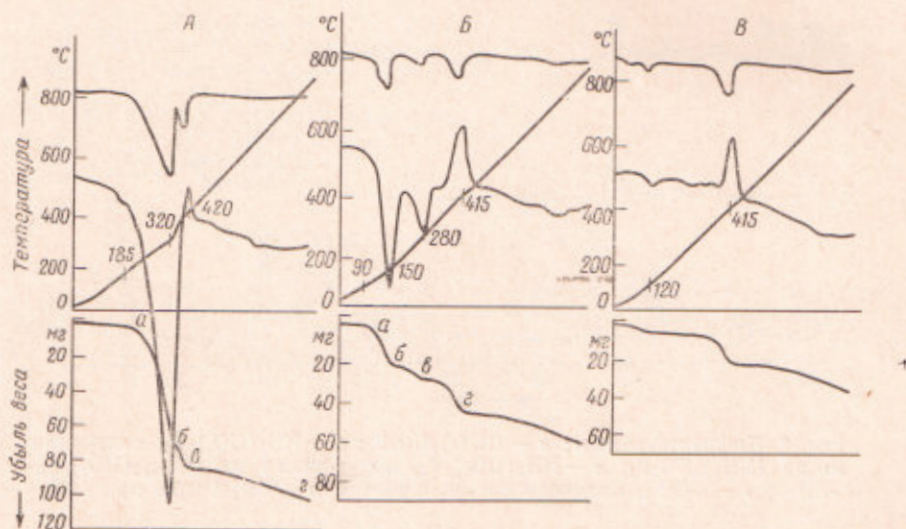
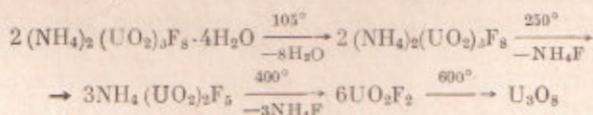


Рис. 1. Дериватограммы  $(\text{NH}_4)_3\text{UO}_2\text{F}_5$  (А),  $(\text{NH}_4)_2(\text{UO}_2)_3\text{F}_8 \cdot 4\text{H}_2\text{O}$  (Б) и  $\text{NH}_4(\text{UO}_2)_2\text{F}_5$  (Б)

ловлен отщеплением от  $(\text{NH}_4)_2(\text{UO}_2)_3\text{F}_8 \cdot 4\text{H}_2\text{O}$  четырех молекул воды. Процесс дегидратации соли протекает в одну стадию. На термогравиметрической кривой дегидратации соответствует участок *a* — *b*, потеря веса на котором составляет 6,6%. Удаление 4 молекул воды из соединения  $(\text{NH}_4)_2(\text{UO}_2)_3\text{F}_8 \cdot 4\text{H}_2\text{O}$  должно сопровождаться убылью в весе, равной 6,72%. Второй эндотермический эффект при 280° связан с разложением обезвоженной соли. Потеря веса, отвечающая этому эффекту, равна 1,84%, что соответствует отщеплению от  $(\text{NH}_4)_2(\text{UO}_2)_3\text{F}_8$  0,5 молекулы  $\text{NH}_4\text{F}$ . Дальнейшее разложение  $(\text{NH}_4)_2(\text{UO}_2)_3\text{F}_8$  протекает с выделением тепла (экзотермический эффект при 415°) и сопровождается убылью в весе, равной 5,1%, что отвечает потере 1,5 молекул  $\text{NH}_4\text{F}$ . Анализ дериватограммы  $(\text{NH}_4)_2(\text{UO}_2)_3\text{F}_8 \cdot 4\text{H}_2\text{O}$  позволяет представить процесс термического разложения этой соли уравнением



Как и в случае  $(\text{NH}_4)_3\text{UO}_2\text{F}_5$ , при термическом разложении  $(\text{NH}_4)_2(\text{UO}_2)_3\text{F}_8 \cdot 4\text{H}_2\text{O}$  в качестве промежуточного продукта образуется двудерный комплекс состава  $\text{NH}_4(\text{UO}_2)_2\text{F}_5$ . С целью подтверждения предложенных выше схем разложения аммонийных фторокомплексов уранила навески солей  $(\text{NH}_4)_3\text{UO}_2\text{F}_5$  и  $(\text{NH}_4)_2(\text{UO}_2)_3\text{F}_8 \cdot 4\text{H}_2\text{O}$  ( $\sim 1$  г) прокаливали в сушильном шкафу при температурах соответственно 250 и 400° в течение 1 часа и полученные продукты подвергли химическому, рентгенофазовому, и.к. спектроскопическому и термогравиметрическому анализам.

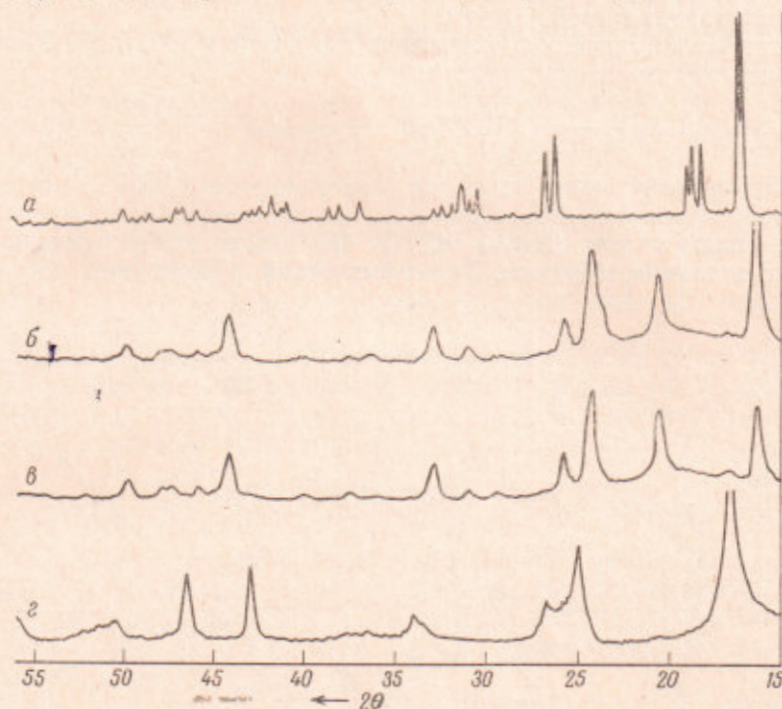


Рис. 2. Дифрактограммы: а —  $(\text{NH}_4)_3\text{UO}_2\text{F}_5$ ; б —  $\text{NH}_4(\text{UO}_2)_2\text{F}_5$ , полученного из  $(\text{NH}_4)_3\text{UO}_2\text{F}_5$ ; в —  $\text{NH}_4(\text{UO}_2)_2\text{F}_5$ , полученного из  $(\text{NH}_4)_2(\text{UO}_2)_3\text{F}_8 \cdot 4\text{H}_2\text{O}$ ; г —  $\text{UO}_2\text{F}_2$ , полученного прокаливанием  $(\text{NH}_4)_3\text{UO}_2\text{F}_5$  при 400°

Результаты этих исследований показали, что при 250° в качестве промежуточного продукта разложения аммонийных фторокомплексов уранила образуется соединение  $\text{NH}_4(\text{UO}_2)_2\text{F}_5$ .

Найдено %:  $\text{NH}_4$  2,71; U 72,69; F 14,60  
 $\text{NH}_4(\text{UO}_2)_2\text{F}_5$ . Вычислено %:  $\text{NH}_4$  2,76; U 72,88; F 14,54

На рис. 2б, в приведены дифрактограммы промежуточных продуктов термического разложения  $(\text{NH}_4)_3\text{UO}_2\text{F}_5$  и  $(\text{NH}_4)_2(\text{UO}_2)_3\text{F}_8 \cdot 4\text{H}_2\text{O}$ , полученных при 250°. Идентичность обеих дифрактограмм свидетельствует об образовании при термическом разложении фторуранилатов аммония одного и того же соединения. В приведенных дифрактограммах отсутствуют линии как исходных веществ, так и  $\text{UO}_2\text{F}_2$  (рис. 2), являющегося продуктом последующей стадии разложения. Образование  $\text{UO}_2\text{F}_2$  в процессе термического разложения фторуранилатов аммония подтверждено методами химического и рентгенографического фазового анализа. Рентгенограммы продуктов, полученных прокаливанием исходных солей при 400°, удовлетворительно согласуются с данными работы (4).

Инфракрасный спектр  $\text{NH}_4(\text{UO}_2)_2\text{F}_5$  удостоверяет результаты рентгенографического анализа. Спектрограмма  $\text{NH}_4(\text{UO}_2)_2\text{F}_5$  характеризуется набором частот, свойственных данному соединению, и отличается от и.к. спектров  $(\text{NH}_4)_2(\text{UO}_2)_3\text{F}_8 \cdot 4\text{H}_2\text{O}$ ,  $(\text{NH}_4)_3\text{UO}_2\text{F}_5$ , а также  $\text{UO}_2\text{F}_2$ .

Дериватограммы промежуточных продуктов термического разложения  $(\text{NH}_4)_3\text{UO}_2\text{F}_5$  и  $(\text{NH}_4)_2(\text{UO}_2)_3\text{F}_8 \cdot 4\text{H}_2\text{O}$ , полученных при  $250^\circ$ , идентичны и характеризуются наличием экзотермического эффекта при  $415^\circ$ , обусловленного разложением  $\text{NH}_4(\text{UO}_2)_2\text{F}_5$ . Найденная из термогравиметрической кривой убыль веса, относящаяся к указанному экзотермическому эффекту, находится в хорошем согласии с вычисленными данными, соответствующими отщеплению от  $\text{NH}_4(\text{UO}_2)_2\text{F}_5$  одной молекулы  $\text{NH}_3\text{F}$ . В качестве примера на рис. 2 приведена дериватограмма  $\text{NH}_4(\text{UO}_2)_2\text{F}_5$ . Отмеченный на этой дериватограмме небольшой эндотермический эффект при  $120^\circ$  связан с удалением влаги из соединения  $\text{NH}_4(\text{UO}_2)_2\text{F}_5$ , которое гигроскопично.

Таким образом, можно констатировать, что при термическом разложении аммонийных фторокомплексов уранила  $(\text{NH}_4)_3\text{UO}_2\text{F}_5$  и  $(\text{NH}_4)_2(\text{UO}_2)_3\text{F}_8 \cdot 4\text{H}_2\text{O}$  в качестве промежуточного продукта образуется соединение  $\text{NH}_4(\text{UO}_2)_2\text{F}_5$ , индивидуальность которого доказана методами химического, рентгенофазового, термогравиметрического и и.-к. спектроскопического анализов. При последующем разложении  $\text{NH}_4(\text{UO}_2)_2\text{F}_5$  образуется  $\text{UO}_2\text{F}_2$ , гидролизующийся при повышенных температурах влагой воздуха.

Отдел химии  
Дальневосточного филиала  
Сибирского отделения Академии наук СССР  
Владивосток  
Институт общей и неорганической химии  
им. Н. С. Курнакова  
Академии наук СССР  
Москва

Поступило  
26 I 1970

#### ЦИТИРОВАННАЯ ЛИТЕРАТУРА

- <sup>1</sup> Н. Г. Галкин, У. Д. Верятин, В. И. Карпов, ЖНХ, 7, в. 8, 2020 (1962).  
<sup>2</sup> А. А. Опаловский, С. С. Бацанов, З. М. Кузнецова, Радиохимия, 7, № 5, 589 (1965). <sup>3</sup> Р. Л. Давидович, Ю. А. Буслев, ДАН 191, № 2 (1970). <sup>4</sup> W. H. Zachariasen, Acta Crystallogr., 1, № 6, 277 (1948).